

ПИКОФРАКЦИЯ В СОСТАВЕ ПЛАНКТОНА ТРОПИЧЕСКОЙ ЗОНЫ

АТЛАНТИЧЕСКОГО ОКЕАНА

/МАТЕРИАЛЫ 20-го РЕЙСА НИС "ПРОФЕССОР ВОДЯНИЦКИЙ"/

*N<sup>o</sup> 3798-B87*      УДК 551.463.8/261/

Н.Н.Шаловенков

ПРОСТРАНСТВЕННОЕ РАСПРЕДЕЛЕНИЕ ВЗВЕШЕННЫХ ЧАСТИЦ

В ТРОПИЧЕСКОЙ И ЮЖНОЙ АТЛАНТИКЕ

Взвешенные в морской воде частицы являются удобным субстратом для развития микроорганизмов. Детритные частицы, преобладающие во взвеси, могут быть важным источником органического вещества. Поэтому, вероятно, распределение и размерный состав взвешенных частиц служат своеобразными показателями протекающих в воде процессов продукции и трансформации органических веществ. В связи с этим предпринято исследование пространственного и размерного распределения взвешенных частиц как фоновой характеристики при изучении закономерностей в распределении пикопланктона в Тропической и Южной Атлантике.

Материал и методы

Схема станций и методика отбора проб морской воды батометром приведены в вводной статье сборника. Счет взвешенных частиц осуществляли на анализаторе ФС-II2 в пробах объемом по пять миллилитров в 5-6 повторностях. Прибор позволял регистрировать частицы следующих размерных классов: 5-10, 10-25, 25-50, 50-100 и 100-500 мкм. Результаты измерений обработаны статистически.

В лабораторных условиях провели три эксперимента с целью изучения динамики количества и соотношения взвешенных частиц в замкнутых объемах. В первом опыте фильтрованную и нефильтрованную воду экспонировали в пятилитровых сосудах в течение двенадцати часов. Второй эксперимент - двухфакторный, схема

которого приведена в таблице I, время экспозиции - девять суток. Третий - четырехфакторный, проведен в течение пяти суток /табл.2/.

Пространственное распределение взвешенных частиц

Количество взвешенных частиц в поверхностном слое двух меридиональных разрезов / $30^{\circ}$  з.д. и  $20^{\circ}$  з.д./ колебалось от 100 до 200 тыс.част./л /рис. I и 2/. Содержание взвеси с глубиной, как правило, снижалось до десятков тысяч частиц на л/л. Низкие значения зарегистрированы на станциях 2940-53 первого и 2963-70 второго разрезов. Расположение этих станций приходится на внутреннюю область Южноатлантического круговорота /I/. Максимальные величины зарегистрированы на глубинах 100-150 метров на станциях 2926 и 2929 первого разреза, где содержание взвеси возрастало до 300 тыс.част./л, а на станциях 2956, 2959-60 второго разреза - до 850 тыс.част./л. Станции 2926 и 2929 находились на границе циклонического и антициклонического северных тропических круговоротов /2/.

Среди взвешенных частиц преобладала размерная группа 5-10 мкм, на долю которой приходилось от 70 до 90%. Частицы более 50 мкм/50-500/ редко регистрировались счетчиком принятым методом. Максимальное количество частиц этих размеров отмечены на станциях 2932, 2938/первого разреза/ и 2959/второго разреза/ на глубинах 50-70 метров. В то же время они составляли не более 0.5% от суммарного содержания взвешенных частиц. Распределение взвешенных частиц по размерным классам на всех без исключения станциях было близко к логнормальному /рис. 3/.

Между частицами размерных классов 5-10 и 10-25 мкм была выявлена тесная корреляционная связь. Соотношение этих частиц изменялось по горизонтам. Так в "верхнем" слое фотической зоны, предварительно выделенным с помощью кластерного анализа /3/, эмпирическая связь частиц 5-10 и 10-25 мкм описывалась линейным уравнением /рис. 4/:

$$\Psi_2 = 2.01 + 0.27 \Psi_1$$

где:  $\Psi_1$  и  $\Psi_2$  - содержание взвешенных частиц 5-10 и 10-25 мкм соответственно. Для "нижнего" слоя она описывалась степенным уравнением /рис. 4/:

$$\Psi_2 = 5.75 + 0.21 \Psi_1 - 0.008 \Psi_1^2$$

-136-

Таблица I

Схема двухфакторного эксперимента

Объем склянки	$V = 50$ мл	$V = 100$ мл
Светлые склянки $S = 800$ люкс	№ 1	№ 2
Темные склянки $S = 0$ люкс	№ 3	№ 4

№ I - 4 - номера экспериментальных сосудов

Таблица 2

Схема четырехфакторного эксперимента

Объем склянки	$V = 50$ мл		$V = 100$ мл	
Освещенность	$S = 800$ люкс	$S = 0$ люкс	$S = 800$ люкс	$S = 0$ люкс
Встряхивание	$C_1$ № 1	$C_2$ № 2	$C_2$ № 3	$C_1$ № 4
Покой	$C_2$ № 5	$C_1$ № 6	$C_1$ № 7	$C_2$ № 8

$C_1$  и  $C_2$  - начальное содержание взвешенных частиц,  
причем  $C_1 > C_2$

№ I - 8 - номера экспериментальных сосудов

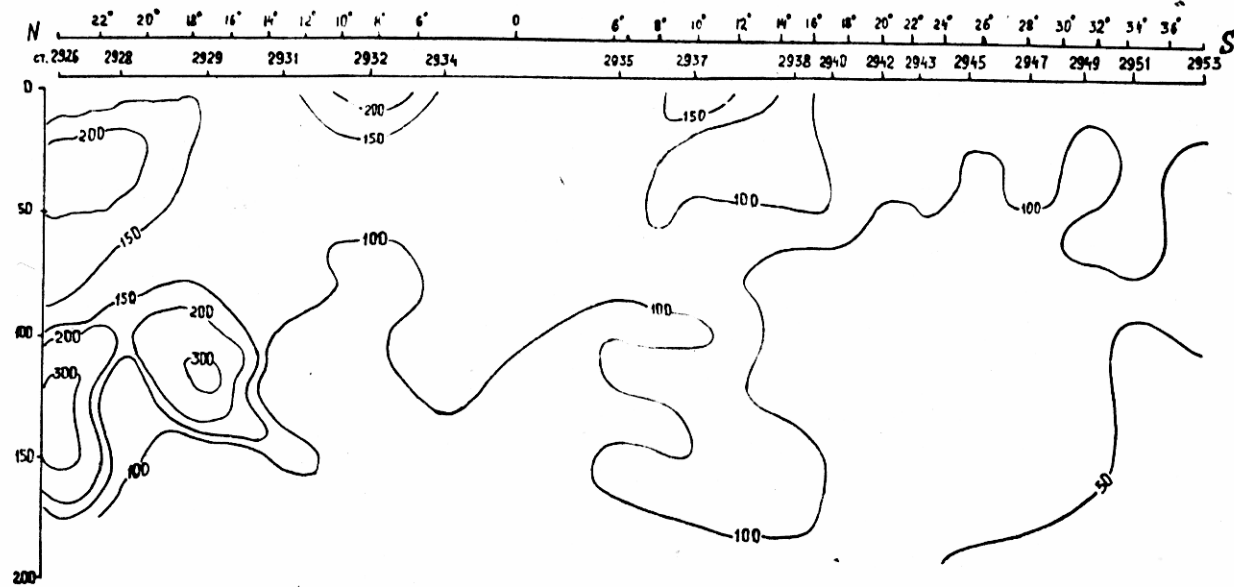


Рис. I. Распределение взвешенных частиц на глубинах 0-200 метров по меридиональному разрезу  $30^{\circ}$  з.д.

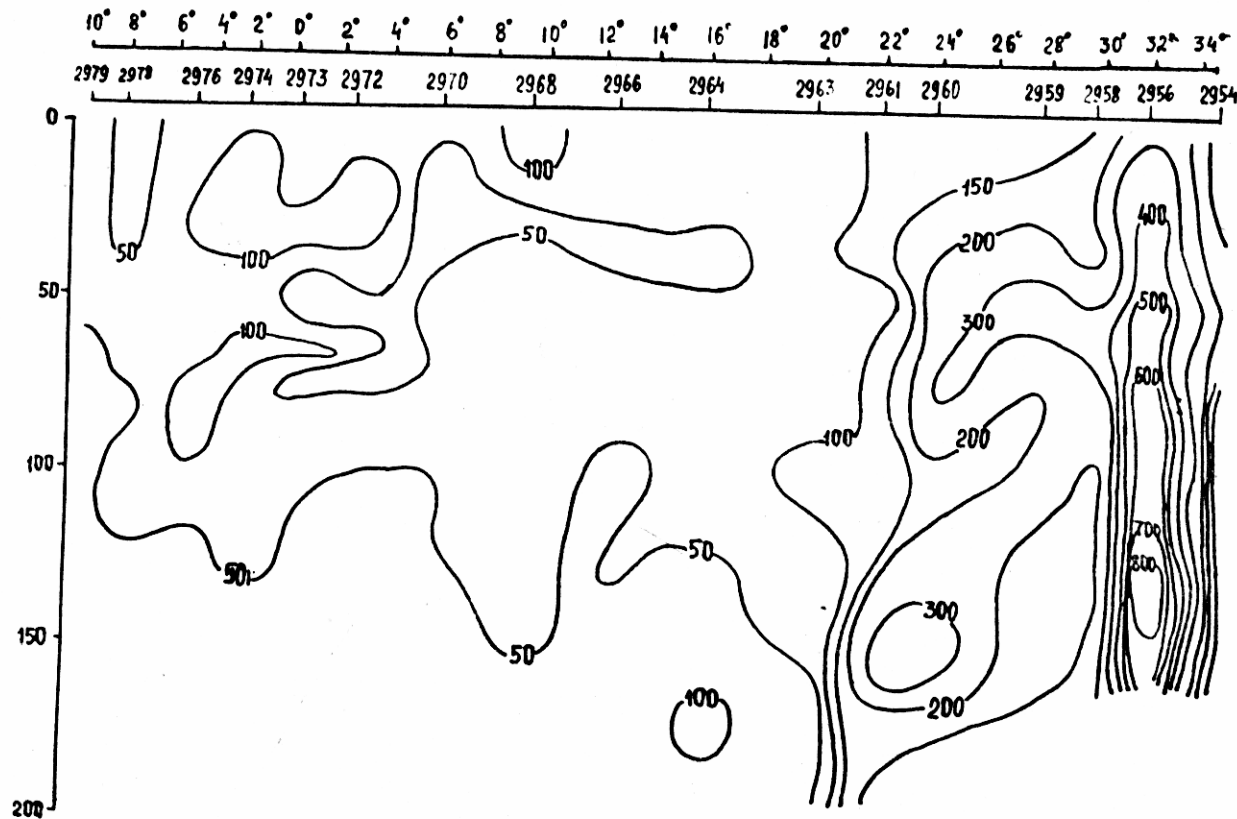


Рис.2. Распределение взвешенных частиц на глубинах 0-200  
метров по меридиональному разрезу 20° з.д.

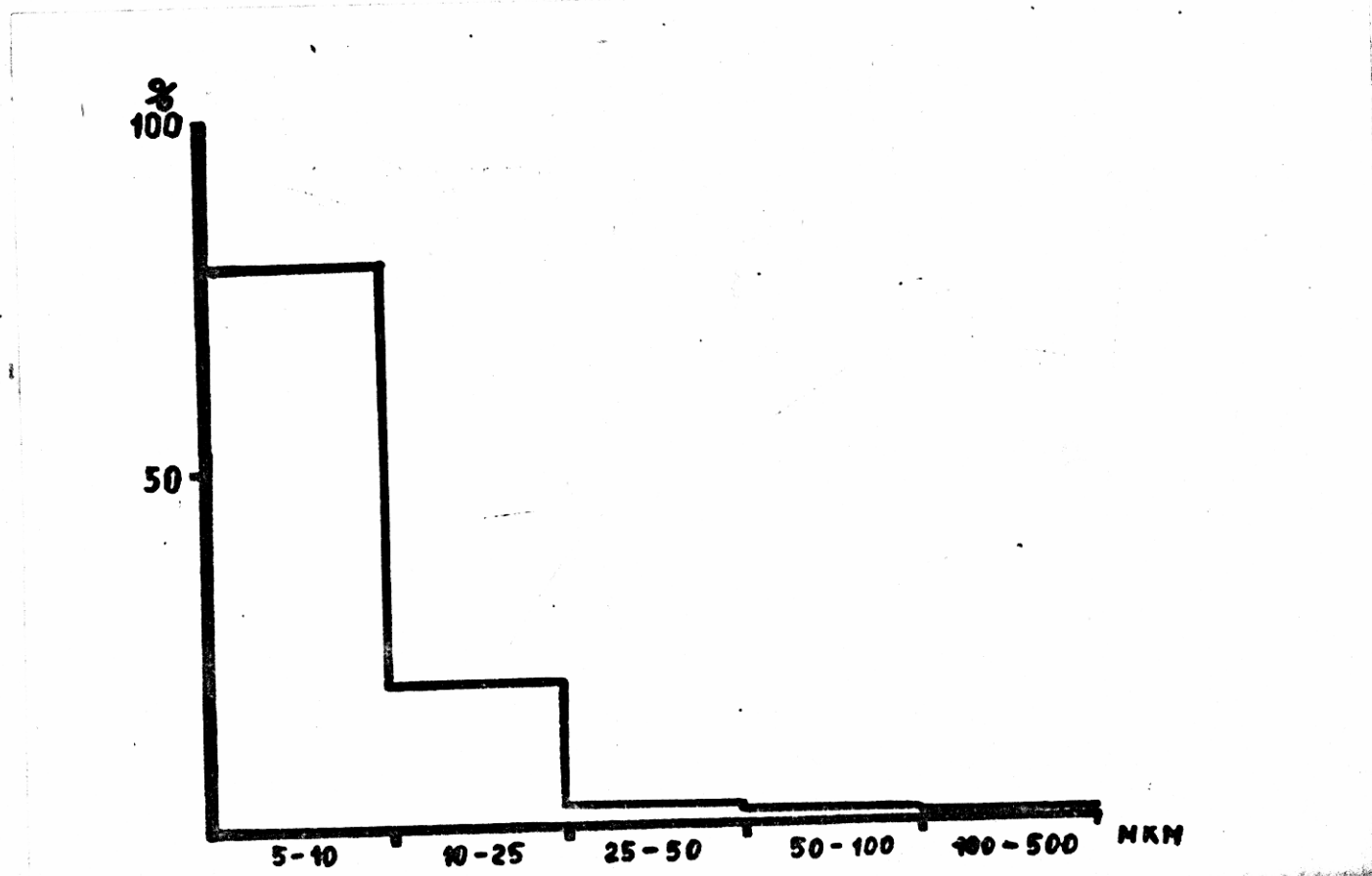


Рис.3. Распределение (%) взвешенных частиц 5-500мкм по размерным классам

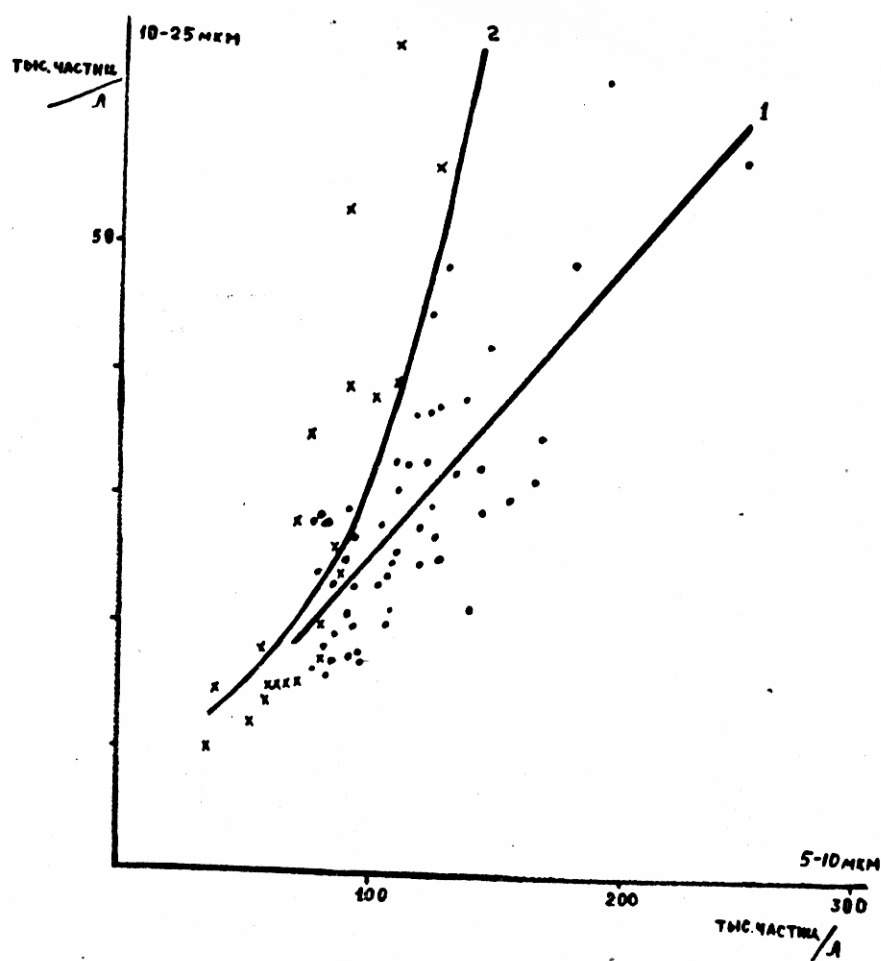


Рис.4.Эмпирическая связь взвешенных частиц размерных  
классов 5-10 и 10-25 мкм для "верхнего" и "нижнего" слоев

Из этих эмпирических зависимостей следует, что при возрастании содержания взвешенных частиц в "верхнем" слое фотической зоны соотношение размерных групп 5-10 и 10-25 мкм остается относительно постоянным, а в "нижнем" - увеличивается доля крупных частиц. Можно предположить, что водные массы "верхне-го" и "нижнего" слоев различаются условиями формирования и размерного распределения взвешенных частиц. Вероятно, поэтому только в "верхнем" слое выявлена корреляционная связь отношения  $\Psi_1/\Psi_2$  с количеством цианобактерий, а в "нижнем" - количество частиц 25-50 мкм коррелировало с содержанием в воде органического фосфора.

В пространственном распределении взвешенных частиц в районе мыса Кап-Блан отмечены те же закономерности, что и на меридиональных разрезах/30°з.д., 22°з.д./: с глубиной содержание взвеси уменьшалось, среди частиц 5-500 мкм преобладала размерная группа 5-10 мкм. Однако на мелководных станциях 298I, 2983-84 наблюдали увеличение количества взвешенных частиц в придонных слоях.

#### Динамика содержания взвешенных частиц в экспериментальных сосудах

Как вытекает из результатов опытов/рис.5-7/ в динамике содержания взвеси можно выделить общие тенденции. Так в начале экспериментов идет быстрое увеличение количества и доли частиц 5-10 мкм, а затем - снижение и возвращение к исходным значениям. При этом изменения в содержании отдельных размерных групп коррелировали. Более высокий уровень значений регистрировался, если предварительно морская вода не была фильтрована /опыт I/.

По полученным экспериментальным данным проведена пошаговая множественная регрессия. В качестве зависимых переменных использованы: количество частиц 5-10 мкм и соотношение частиц 5-10 и 10-25 мкм. Из расчетов следует, что наибольшие изменения в содержании частиц 5-10 мкм коррелированы с количеством частиц 10-25 мкм. Коэффициент множественной корреляции равен 0.89. На содержание и соотношение взвешенных частиц в воде не оказывали влияние исходное количество частиц, освещенность и объем сосуда. Регистрируемые переменные имели высокие значения на протяжении всего эксперимента при интенсивном встряхивании

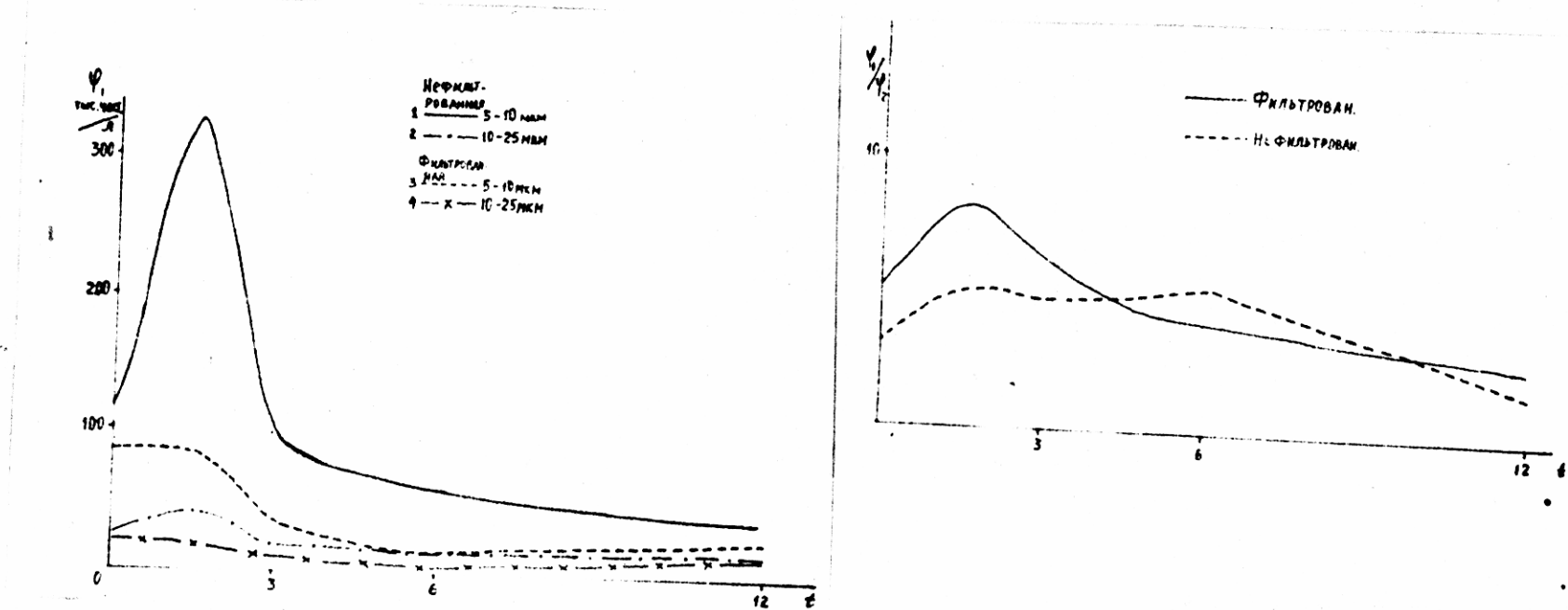


Рис. 5. Изменения содержания взвешенных частиц  $\Psi$  (а) и соотношения  $\Psi_1/\Psi_2$  (б) в эксперименте с фильтрованной и нефильтрованной водой

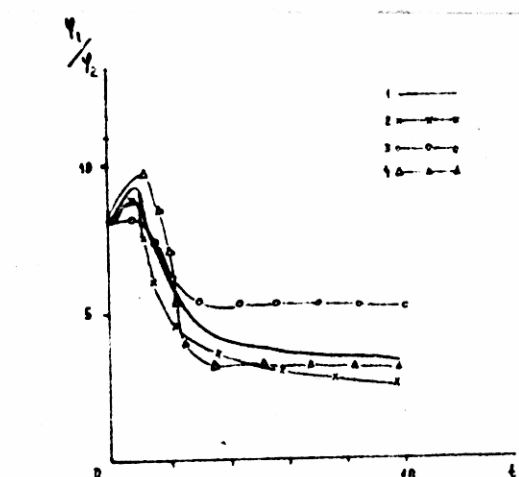
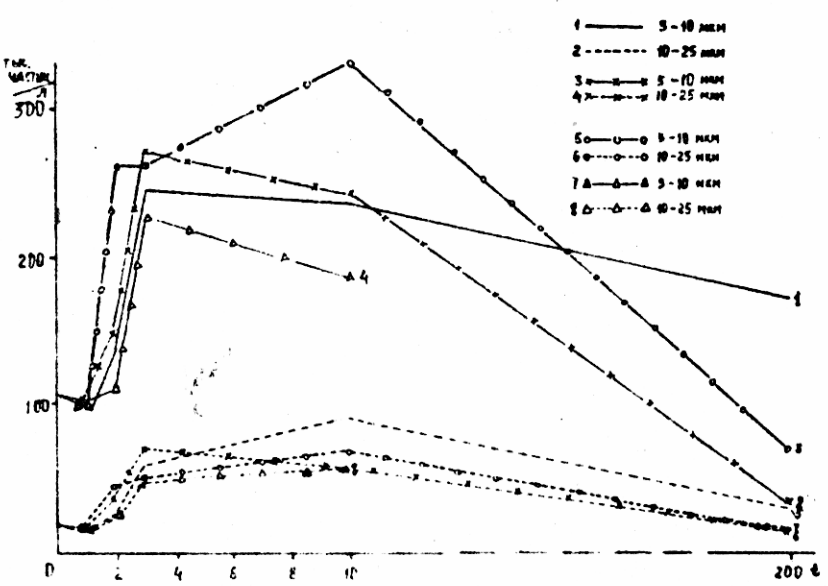


Рис.6. Изменения содержания взвешенных частиц  $\Phi$  (а) и соотношения  $\Phi_1 / \Phi_2$  в двухфакторном эксперименте

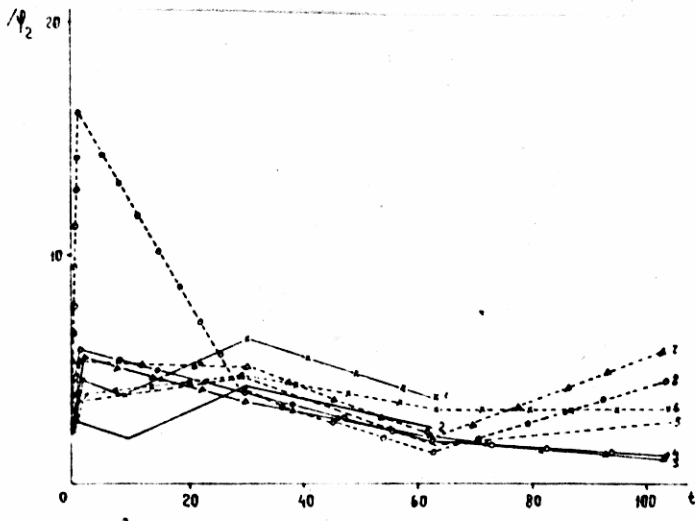
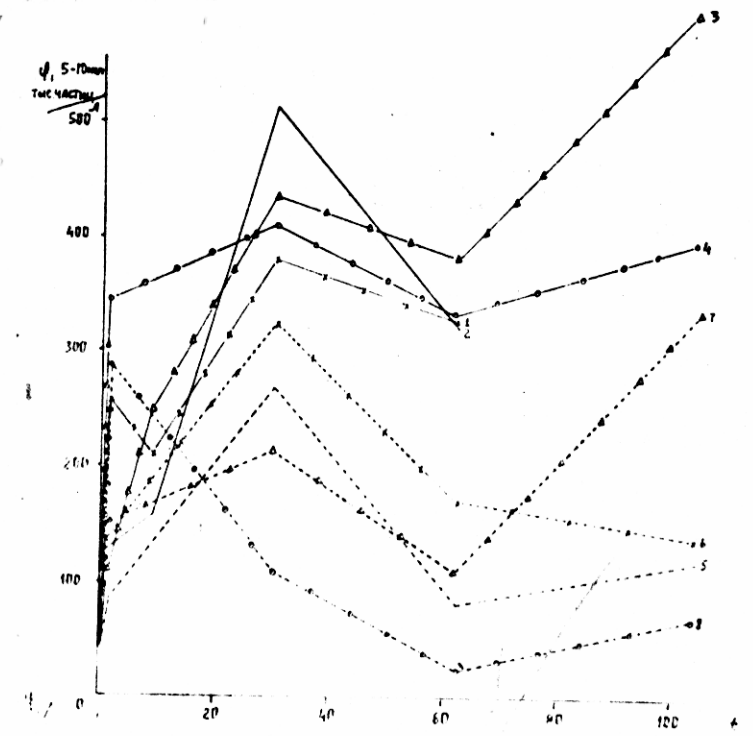


Рис.7. Изменения содержания взвешенных частиц  $\Psi(a)$  и соотношения  $\Psi_1/\Psi_2$  в четырехфакторном эксперименте

сосудов/опыт З/.Поэтому, можно предположить, что в зонах активной турбулентности водных масс возрастает количество взвешенных частиц в морской воде.

#### Заключение

В пространственном и размерном распределении взвешенных частиц в исследованном районе Атлантического океана можно отметить следующие закономерности:

- содержание взвеси возрастает от центральной области к границам Южноатлантического круговорота;
- количество частиц в воде с увеличением глубины снижается;
- среди взвешенных частиц 5-500 мкм всегда преобладают размерные классы: 5-10, 10-25 и 25-50 мкм;
- распределение частиц по размерам близко к логнормальному распределению;
- количество частиц отдельных размерных групп коррелировано;
- во взвеси преобладали детритные частицы.

#### Литература

- 1.Латун В.С.Основные звенья Южноатлантического антициклонального круговорота - В кн.:Биопродукционная система крупномасштабного океанического круговорота.Киев,Наукова думка, 1984,с.5-25.
- 2.Хлыстов Н.З.Структура и динамика вод Тропической Атлантики.Киев,Наукова думка, 1976, I64с.
- 3.Шаловенков Н.Н.,Владимиров В.Б.,Николаев В.М.Вертикальная неоднородность фотического слоя в Тропической Атлантике.Настоящий сборник.